

Power Methodによる部分修正された振動系の固有値解析(△Kをもつ場合)

熊本大学 正会員 平井一男
八代高専 正会員 水田洋司

筆者の一人は、一部修正された構造物の固有値、固有モードを修正前の固有値、固有モードを利用して求める方法を提案した⁽¹⁾。その論文では、修正された構造物の振動方程式を作り、解はそのマトリックスの行列式の計算より求める Trial and Error Method が用いられている。本研究は、一部修正に関する静的関係式をもとにして、修正量を外力項に変換し、Power Method を適用して解を求めようとするものである。この方法によれば、行列式の計算をする事なく、部分マトリックスとベクトルの積の繰り返し演算で固有値、固有モードを得ることができる。一部修正には、剛性変化、質量変化が考えられるが、ここでは剛性変化のみとする。

解析法 便宜上、修正前の原構造物を system A、修正後の構造物を system B とする。外力が作用するときの system A の静的変形 \bar{w}_A は、剛性マトリックス f_A を用いて次のように表わせる。

$$\bar{w}_A = f_A \cdot F = K_A^{-1} \cdot F \quad (1)$$

ここに、 K_A は system A の剛性マトリックス。また、 ΔK だけ修正された system B の変形 \bar{w}_B は、

$$\bar{w}_B = f_A \cdot (\mathbb{I} + \Delta K \cdot f_A)^{-1} \cdot F \quad (2)$$

と表わせる。これより、system B は system A の静特性を利用して、 F を $(\mathbb{I} + \Delta K \cdot f_A)^{-1}$ 倍あることは、 f_A を $(\mathbb{I} + \Delta K \cdot f_A)^{-1}$ 倍しても求められることがわかる。ここで、 $(\mathbb{I} + \Delta K \cdot f_A)^{-1}$ について考える。 ΔK 、 f_A を次式

$$\Delta K = \begin{bmatrix} 0 & 0 & 0 \\ 0 & \Delta K & 0 \\ 0 & 0 & 0 \end{bmatrix} \quad (3) \quad f_A = \begin{bmatrix} f_{11} & f_{12} & f_{13} \\ f_{21} & f_{22} & f_{23} \\ f_{31} & f_{32} & f_{33} \end{bmatrix} \quad (4)$$

のようを考えると、

$$(\mathbb{I} + \Delta K \cdot f_A)^{-1} = \mathbb{I} + \begin{bmatrix} 0 & 0 & 0 \\ b_1 & b_2 & b_3 \\ 0 & 0 & 0 \end{bmatrix} \quad (5)$$

と表わせる。ここに、 $b_1 = -(\mathbb{I} + \Delta K \cdot f_{22})^{-1} \cdot \Delta K \cdot f_{21}$

$$b_2 = (\mathbb{I} + \Delta K \cdot f_{22})^{-1} - \mathbb{I} \quad (6)$$

$$b_3 = -(\mathbb{I} + \Delta K \cdot f_{22})^{-1} \cdot \Delta K \cdot f_{23} \quad (7)$$

また、 $b_1 \sim b_3$ を system A の固有モード φ_n ($n=1, 2, 3, \dots$) を用いて次のように表わす。

$$\begin{bmatrix} 0 & 0 & 0 \\ b_1 & b_2 & b_3 \\ 0 & 0 & 0 \end{bmatrix} = \begin{bmatrix} 0 & 0 & 0 \\ \sum C_n \varphi_n & & \\ 0 & 0 & 0 \end{bmatrix} \quad (8)$$

この時の C_n は、直交条件を用いて(8)式で決定できる。式中の M_A は、system A の質量マトリックスである。

$$(b_1 \ b_2 \ b_3) \cdot M_A \cdot \varphi_n = (\sum C_n \varphi_n^T) \cdot M_A \cdot \varphi_n = C_n \quad (9)$$

C_n は ΔK と同じ次数のベクトルである。任意の外力が作用した時の system A の静的変形 \bar{w}_A は、system A の固有値 λ_n ($= \varphi_n^T \cdot \Delta K \cdot \varphi_n$)、固有モード φ_n を用いて次式で表わせる。

$$\bar{w}_A = \sum (\varphi_n \cdot \varphi_n^T / \lambda_n) \cdot F \quad (10)$$

(2)式に示すように、system B に対しては、 F を $(\mathbb{I} + \Delta K \cdot f_A)^{-1}$ 倍して、 \bar{w}_B を求めることができる。いま、任意の変形 \bar{w}_S ($= \sum d_n \varphi_n$) による慣性力で表わされる F を用いること、system B の変形 \bar{w}_B は、

$$\bar{w}_B = \sum \frac{\varphi_n \cdot \varphi_n^T}{\lambda_n} \cdot (\mathbb{I} + \left[\begin{array}{ccc} 0 & 0 & 0 \\ \sum C_n \varphi_n & & \\ 0 & 0 & 0 \end{array} \right]) \cdot M_A \cdot (\sum d_n \varphi_n) \quad (11)$$

と表わせる。ここで、 $\lambda=1$ として直交条件を用いて簡単にすると

$$W_{B1} = \sum \frac{d_n}{\lambda_n} \Phi_n + \sum \frac{\Phi_n \Phi_n^T}{\lambda_n} \begin{pmatrix} 0 \\ (\sum C_n d_n) \\ 0 \end{pmatrix} = \sum d_{n1} \Phi_n \quad (43)$$

ここに、
 $d_{n1} = \frac{1}{\lambda_n} \left\{ d_n + \Phi_n^T \begin{pmatrix} 0 \\ (\sum C_n d_n) \\ 0 \end{pmatrix} \right\}$ (44)

(44)式で表わされる変形による慣性力 $\bar{F}_i = -M_A W_{B1} = -M_A \sum d_{n1} \Phi_n$ が外力として作用した時には、同様に

$$W_{B2} = \sum \frac{1}{\lambda_n} \left\{ d_{n1} + \Phi_n^T \begin{pmatrix} 0 \\ (\sum C_n d_{n1}) \\ 0 \end{pmatrix} \right\} \Phi_n = \sum d_{n2} \Phi_n \quad (45)$$

以下、同様にして：

$$W_{Bk+1} = \sum \frac{1}{\lambda_n} \left\{ d_{nk} + \Phi_n^T \begin{pmatrix} 0 \\ (\sum C_n d_{nk}) \\ 0 \end{pmatrix} \right\} \Phi_n = \sum d_{nk+1} \Phi_n \quad (46)$$

d_{nk+1} が一定の値に収束するまで繰り返し演算を行なう。(たがって、(46)式で求められる W_{Bk+1} が固有モードであり、固有値は Rayleigh の商を利用して簡単に求めることができる。以上は、1番目の固有値、固有モードを求める方法である。2番目の固有モードは、変形 W_{Bk+1} から1番目のモード成分を差し引き、(46)式を繰り返し計算することにより求めることができる。3番目以降についても同様に行なえばよい。

数値計算 図-1 に示すトラス橋を用いて、本法と Jacobi 法の解の比較を行なっている。

system A では各部材の断面積を 30cm² とし、4-5 部材の断面積を 15cm² とした系を system B としている。表-2 に固有値を、表-3 に固有モードを示している。本法による精度は、(46)式で示される d_{nk+1} の収束条件により異なるが、表-2、表-3 に示して置いた $| (d_{nk+1} - d_{nk}) / d_{nk+1} | \leq 10^{-5}$ という収束条件を用いている。なお、計算桁数は 16 衡である。また表-2、表-3 には、固有値、固有モードの一部しか載せていない。

表-2 固有値 (rad/sec)

	本法	Jacobi 法	本法	Jacobi 法
1	25.619	25.618	7	176.708
2	45.725	45.724	8	195.709
3	70.528	70.527	9	225.815
4	104.937	104.937	10	242.563
5	128.303	128.303	11	255.450
6	151.526	151.526	12	315.480

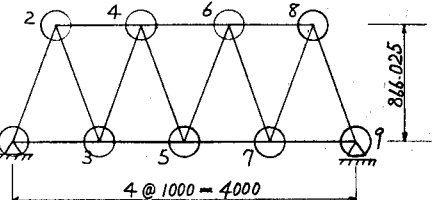


図-1 トラス橋 (単位 cm)

表-1 各節点の重量 (kg)

節点	重量	節点	重量
1	2500	6	2000
2	1000	7	5000
3	5000	8	1000
4	2000	9	2500
5	5000		

表-3 1次固有モード

y_1	0.094752	y_4	0.169351	y_7	0.218264
y_2	0.094752	y_5	0.169350	y_8	0.218263
y_3		y_6	0.218939	y_9	0.166811
y_5	0.240617	y_7	0.218937	y_{10}	0.088755
y_6	0.240615	y_8		y_{11}	0.088756

[注] (1) Hirai, I., Yoshimura, T., and Takamura, K., "Short Communications on a Direct Eigenvalue Analysis for Locally Modified Structures," International Journal for Numerical Method in Engineering, Vol. 6, pp. 441~442, 1973